

—コンクリートの弾性係数の時間的変化を考慮した場合—

九州大学工学部 正員 山崎徳也

" " 正員 麻板 熊

" " 学生員〇羽根悟朗

1. 緒言

コンクリートのクリープ、乾燥収縮およびPC鋼材のラクセーションなどによる初期導入プレストレスの減少量を計算する既往の各種理論式では、計算の煩雑さからコンクリートの弾性係数の時間的変化が考慮されていない。本研究はコンクリートの打込み後、比較的早い時期にプレストレスの導入が行われる場合のPC部材のクリープ挙動に、コンクリートの弾性係数の時間的変化が及ぼす影響を理論的に明らかにすることを目的とし、加えて、時間経過とともにPC部材の軸方向ひずみ、曲げ変形および応力の変化を算定する一般式を提示したものである。

2. クリープ関数

材令tのコンクリートが単位の持続応力を受けるとき、時刻tにおけるコンクリートの総ひずみ $\delta(t, \tau)$ は次式で表わされる。

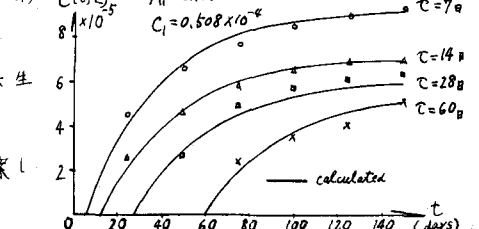
$$\delta(t, \tau) = \frac{1}{E_c(\tau)} + C(t, \tau)$$

ここで $E_c(\tau)$: 材令tのコンクリートの弾性係数

$C(t, \tau)$: クリープ関数(時刻tから時刻 τ までに生じたクリーピングひずみ)

本研究では $C(t, \tau)$ の関数形としてArutgungan¹⁾の提案した次式を用いることとする。

$$C(t, \tau) = \varphi(\tau) [1 - e^{-\gamma(t-\tau)}]$$

(1) $C(t, \tau)$ $\gamma = 0.0308$ $A_1 = 2.94 \times 10^{-4}$ $C_1 = 0.508 \times 10^{-4}$ 

(2)

calculated

(3)

図-1

とあれば、式(2)は以下のWhitneyの仮定を満足する。またArutgunganは

$$\varphi(\tau) = A_1/\tau + C_1$$

(4)

を用いている。式(2),(3),(4)の γ, C_0, A_1, C_1 は実験より定まる定数であり、一例として文献(1)の実験値を基にして最小自乗法により求めた式(2),(4)の結果を示せば図-1のことである。

3. コンクリートの応力-ひずみ関係式

いま材令tのPC桁にプレストレスを導入し、さらに時刻 $t=t_2$ において持続荷重が載荷されたものとし、 $t_1 \leq t \leq t_2$ においてコンクリートの応力-ひずみ関係は、 $E_c(\tau)$ 、また $t_2 \leq t$ におけるそれらを $\bar{E}_c(\tau)$ 、 $\bar{E}_c(\tau)$ とするれば、式(1)を用いて次の関係式が成立する。

$$t_1 \leq t \leq t_2 : E_c(t) = \frac{\bar{E}_c(\tau)}{E_c(\tau)} - \int_{t_1}^t \frac{\partial}{\partial \tau} \frac{\partial}{\partial \tau} \delta(t, \tau) d\tau - S_n(t) \quad (5)$$

$$t_2 \leq t : \bar{E}_c(t) = \frac{\bar{E}_c(\tau)}{E_c(\tau)} - \int_{t_2}^t \frac{\partial}{\partial \tau} \frac{\partial}{\partial \tau} \delta(t, \tau) d\tau + \left\{ \bar{E}_c(t_2) - \bar{E}_c(\tau) \right\} \delta(t, t_2) + \int_{t_2}^t \frac{\partial}{\partial \tau} \left\{ \bar{E}_c(\tau) - \bar{E}_c(\tau) \right\} \delta(t, \tau) d\tau - S_n(t) \quad (6)$$

$$= \frac{\bar{E}_c(t)}{E_c(\tau)} - \int_{t_2}^t \frac{\partial}{\partial \tau} \frac{\partial}{\partial \tau} \delta(t, \tau) d\tau - \int_{t_2}^t \frac{\partial}{\partial \tau} \frac{\partial}{\partial \tau} \delta(t, \tau) d\tau - S_n(t) \quad (7)$$

z : K $S_n(t)$: 時刻 t における乾燥収縮ひずみ

本論文では $t_1 \leq t \leq t_2$ の区間を取り扱いの対象とし、 t_1 までの期間については別途考慮することとする。
式(5)を式(6)について解けば次式が得られる。

$$\sigma_c(t) = \sigma_c(t_1) + \int_{t_1}^{t-p(t)} \left[\dot{\sigma}_c(\tau) + \int_{\tau}^t E_c(\tau) \left\{ \ddot{E}_c(\tau) + p(\tau) E_c(\tau) \right\} e^{t-\tau} d\tau \right] d\tau \quad (7)$$

ただし $\dot{\gamma}(\tau) = \int_{t_1}^{\tau} \left\{ \gamma(1 + p(\tau)) E_c(\tau) \right\} - E_c(\tau) / E_c(t_1) \right\} d\tau$

$$\dot{\sigma}_c(\tau) = E_c(\tau) \dot{E}_c(\tau), \quad \ddot{\sigma}_c(\tau) = E_c(\tau) \ddot{E}_c(\tau) - p(\tau) E_c(\tau) \dot{\sigma}_c(\tau)$$

また \bullet は $\frac{\partial}{\partial t}$, $\bullet \bullet$ は $\frac{\partial^2}{\partial t^2}$ を意味する。

4. 変形の微分方程式の説明

図-2の x と y PC 柱の左端を原点にとり、断面の回転軸にそって x 軸を、垂直下方に y 軸をもつとする。PC 鋼材の断面積を A_s とし、軸方向圧縮力は、
 x 軸の下方からの位置に作用するものと仮定する。

PC 鋼材について、最初手で引張力を $P(t)$ 生ずるひずみを Δ 、時刻 t におけるひずみを $E_c(t)$ とし、かつ PC 鋼材とコンクリートが一体となる、て変形するものとするは、式(5)の $E_c(t)$ との間に次の関係が成立する。

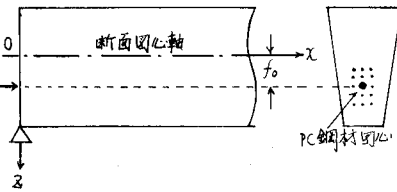


図-2

$$\Delta + E_c(t) = E_s(t) \quad (8)$$

軸の y 方向のたわみを $w(t, x)$ とすれば、 $E_c(t)$ は軸方向ひずみ $E_{co}(t)$ と回転ひずみ $-x \frac{\partial^2 w(t, x)}{\partial x^2}$ の和として求めらる。すなはち、

$$E_c(t) = E_{co}(t) - x \frac{\partial^2 w(t, x)}{\partial x^2} \quad (9)$$

従て時刻 t における PC 鋼材の引張力 $P(t)$ は式(8)と式(9)を用いて次式のように書き表わせよう。

$$P(t) = E_s A_s E_s(t) = E_s A_s \left\{ \Delta + E_{co}(t) - f_o \frac{\partial^2 w(t, x)}{\partial x^2} \right\} \quad (10)$$

断面の回転軸に関するモーメントおよび軸方向力の釣合条件より次式が成立する。

$$-P(t)f_o = \int_{A_c} \sigma_c(t) x dA_c \quad (11)_a$$

$$-P(t) = \int_{A_c} \sigma_c(t) dA_c \quad (11)_b$$

$\therefore K A_c$: コンクリートの断面積

式(11)の左辺に式(10)、右辺に式(7)を代入し、かつ式(9)を考慮して整理すれば、次の $w(t, x)$, $E_{co}(t)$ に関する連立方程式が得られる。

$$-p(t) \frac{f_o}{K_c^2} \left\{ \Delta + E_{co}(t) - f_o \frac{\partial^2 w(t, x)}{\partial x^2} \right\} = \frac{\partial^2 w(t, x)}{\partial x^2} - \left(\frac{\partial^2 \dot{w}(t, x)}{\partial x^2} - p(t) E_c(t) \frac{\partial^2 w(t, x)}{\partial x^2} \right) \int_{t_1}^{t-p(t)} \int_{t_1}^{\tau} \left[\left(\frac{\partial^2 \ddot{w}(\tau, x)}{\partial x^2} + p(\tau) \frac{\partial^2 w(\tau, x)}{\partial x^2} \right) \int_{t_1}^{\tau} \right] d\tau d\tau \quad (12)_a$$

$$-p(t) \left\{ \Delta + E_{co}(t) - f_o \frac{\partial^2 w(t, x)}{\partial x^2} \right\} = S_n(t) + E_{co}(t) + \left[\dot{S}_n(t) + \dot{E}_{co}(t) - p(t) E_c(t) \left\{ S_n(t) + E_{co}(t) \right\} \right] \int_{t_1}^{t-p(t)} \int_{t_1}^{\tau} e^{t-\tau} d\tau d\tau \quad (12)_b$$

$$+ \int_{t_1}^{t-p(t)} \int_{t_1}^{\tau} \left[\left\{ \ddot{E}_{co}(\tau) + \ddot{S}_n(\tau) \right\} + p(\tau) \left\{ \dot{E}_{co}(\tau) + \dot{S}_n(\tau) \right\} \right] e^{t-\tau} d\tau d\tau \quad (12)_c$$

$$\text{ここで } \rho = As/Ac, \quad R = \sqrt{I_c/A_c}, \quad n(t) = E_s/E_c(t)$$

式(12)を直接解くことは不可能であるが、式(12)の両辺を \$x\$ で 1 回微分したのち式(14)を用い、両辺を \$x\$ で微分して整理すれば、結局次の式(13)の連立微分方程式が導かれる。左辺 \$S_n(t)\$ や右辺式(14)の初期条件のもとで解くことができる。

$$\left\{ \frac{1}{\rho n(t)} + \left(\frac{f_0}{R}\right)^2 \right\} \frac{\partial^2 \tilde{w}(t, x)}{\partial x^2} + \left\{ \frac{r}{\rho n(t)} + \left(\frac{f_0}{R}\right)^2 \dot{\varphi}(t) \right\} \frac{\partial^2 w(t, x)}{\partial x^2} = \frac{f_0}{R^2} \left\{ \ddot{E}_{co}(t) + \dot{\varphi}(t) \dot{E}_{co}(t) \right\} \quad (13)_a$$

$$f_0 \left\{ \frac{\partial^2 \tilde{w}(t, x)}{\partial x^2} + r \frac{\partial^2 w(t, x)}{\partial x^2} \right\} = \left\{ 1 + \frac{1}{\rho n(t)} \right\} \ddot{E}_{co}(t) + \left\{ \frac{r}{\rho n(t)} + \dot{\varphi}(t) \right\} \dot{E}_{co}(t) + \frac{1}{\rho n(t)} \left\{ S_n(t) + r S_n'(t) \right\} \quad (13)_b$$

初期条件 (\$t = \tau_1\$) :

$$\frac{\partial^2 w(\tau_1, x)}{\partial x^2} = \frac{\rho n(\tau_1) \frac{f_0}{R^2} \left\{ \Delta - S_n(\tau_1) \right\}}{\left[1 + \rho n(\tau_1) \left\{ 1 + \left(\frac{f_0}{R}\right)^2 \right\} \right]^2} \quad (14)_a$$

$$\frac{\partial^2 \tilde{w}(\tau_1, x)}{\partial x^2} = \frac{\rho n(\tau_1) \frac{f_0}{R^2} \dot{\varphi}(\tau_1) E_s(\tau_1) \left\{ \Delta - S_n(\tau_1) \right\}}{\left[1 + \rho n(\tau_1) \left\{ 1 + \left(\frac{f_0}{R}\right)^2 \right\} \right]^2} - \frac{\rho n(\tau_1) \frac{f_0}{R^2} S_n'(\tau_1)}{\left[1 + \rho n(\tau_1) \left\{ 1 + \left(\frac{f_0}{R}\right)^2 \right\} \right]} \quad (14)_b$$

$$\dot{E}_{co}(\tau_1) = - \frac{\rho n(\tau_1) \left\{ \Delta + S_n(\tau_1) \left(\frac{f_0}{R}\right)^2 \right\} + S_n(\tau_1)}{\left[1 + \rho n(\tau_1) \left\{ 1 + \left(\frac{f_0}{R}\right)^2 \right\} \right]} \quad (14)_c$$

$$\dot{E}_{co}'(\tau_1) = - \frac{\rho n(\tau_1) r \dot{\varphi}(\tau_1) E_s(\tau_1) \left\{ \Delta - S_n(\tau_1) \right\}}{\left[1 + \rho n(\tau_1) \left\{ 1 + \left(\frac{f_0}{R}\right)^2 \right\} \right]^2} - \frac{\left\{ 1 + \rho n(\tau_1) \left(\frac{f_0}{R}\right)^2 \right\} S_n'(\tau_1)}{\left[1 + \rho n(\tau_1) \left\{ 1 + \left(\frac{f_0}{R}\right)^2 \right\} \right]} \quad (14)_d$$

5. 微分方程式の解法

式(12)_a, (13)_a もともと式(13)_b から \$\ddot{E}_{co}(t)\$ および \$\dot{E}_{co}(t)\$ を消去し、かつ

$$\frac{\partial^2 \tilde{w}(t, x)}{\partial x^2} + r \frac{\partial^2 w(t, x)}{\partial x^2} = g(t, x) \quad (15)$$

の置換を行って、次の \$g(t, x)\$ に関する微分方程式を導く。

$$\dot{g}(t, x) + A(t) g(t, x) = B(t) \quad (16)$$

$$A(t) = \frac{\ell(t) + \rho n(t) \left\{ 1 + \left(\frac{f_0}{R}\right)^2 \right\} \ell(t)}{\left\{ r \dot{\varphi}(t) E_s(t) - E_c(t)/E_c(t) \right\} \left\{ 1 + \rho n(t) \left\{ 1 + \left(\frac{f_0}{R}\right)^2 \right\} \right\}}$$

$$B(t) = \frac{\rho n(t) \frac{f_0}{R^2} \left\{ r \dot{\varphi}(t) E_s(t) - E_c(t)/E_c(t) \right\} m(t)}{\left[1 + \rho n(t) \left\{ 1 + \left(\frac{f_0}{R}\right)^2 \right\} \right]}$$

ここで

$$\ell(t) = \dot{E}_c(t)/E_c(t) - 2 \left\{ \dot{E}_c(t)/E_c(t) \right\}^2 - r E_c(t)/E_c(t) + r \left\{ r \dot{\varphi}(t) - \dot{\varphi}(t) \right\} E_c(t)$$

$$\cdot \ell(t) = \dot{E}_c(t)/E_c(t) - r \left\{ \dot{E}_c(t)/E_c(t) \right\} \left\{ 1 + 3 \dot{\varphi}(t) E_c(t) \right\} + r^2 \dot{\varphi}(t)^2 E_c(t)^2 + r E_c(t) \left\{ r \dot{\varphi}(t) - \dot{\varphi}(t) \right\}$$

$$m(t) = - \frac{\left\{ S_n''(t) + r S_n'(t) \right\} + \left\{ r \left[1 + \dot{\varphi}(t) E_c(t) \right] - \dot{E}_c(t)/E_c(t) \right\}}{r \dot{\varphi}(t) E_c(t) - E_c(t)/E_c(t)} + \frac{\left\{ S_n''(t) + r S_n'(t) \right\} \left\{ r \dot{\varphi}(t) E_c(t) + r \dot{\varphi}(t) \dot{E}_c(t) - \dot{E}_c(t)/E_c(t) + \dot{E}_c(t)^2/E_c(t) \right\}}{\left\{ r \dot{\varphi}(t) E_c(t) - E_c(t)/E_c(t) \right\}^2}$$

式(16)を解いて

$$g(t, x) = C \int_{\tau_1}^t A(\tau) d\tau \left\{ g(\tau_1, x) + \int_{\tau_1}^t B(\tau) C e^{\int_{\tau_1}^{\tau} A(\tau) d\tau} d\tau \right\} \quad (17)$$

$$g(\tau_1, x) = -\frac{\{r\dot{e}(\tau_1)E_c(\tau_1) - \dot{E}_c(\tau_1)E_c(\tau_1)\}pn(\tau_1)\frac{f_n}{f_{\infty}} + r^2(\tau_1)E_c(\tau_1) \cdot pn(\tau_1)\{1 + (\frac{f_n}{f_{\infty}})^2\}\{A - S_n(\tau_1)\}}{\left[1 + pn(\tau_1)\{1 + (\frac{f_n}{f_{\infty}})^2\}\right]^3} \\ - \frac{\{r\dot{e}(\tau_1)E_c(\tau_1) - \dot{E}_c(\tau_1)E_c(\tau_1)\}pn(\tau_1)\frac{f_n}{f_{\infty}} \cdot S_n(\tau_1)}{\left[1 + pn(\tau_1)\{1 + (\frac{f_n}{f_{\infty}})^2\}\right]^2} - \frac{pn(\tau_1)\frac{f_n}{f_{\infty}} \cdot \{S_n(\tau_1) + rS_n'(\tau_1)\}}{1 + pn(\tau_1)\{1 + (\frac{f_n}{f_{\infty}})^2\}}$$

式(17)に付り $g(t, x)$ が求まれば式(15)を解いて $\frac{\partial^2 w(t, x)}{\partial x^2}$ は次式で与えられる。

$$\frac{\partial^2 w(t, x)}{\partial x^2} = \int_{\tau_1}^t e^{-r(t-\tau)} \left\{ \frac{\partial^2 w(\tau, x)}{\partial x^2} + \int_{\tau_1}^{\tau} g(\tau, x) e^{r(\tau-t)} d\tau \right\} d\tau + \frac{\partial^2 w(\tau_1, x)}{\partial x^2} \quad (18)$$

式(18)を式(13)または式(13)に代入すれば $E_{co}(t)$ が容易に与えられ、結果の表示せば次式のようである。

$$E_{co}(t) = \int_{\tau_1}^t e^{-r(t-\tau)} \left\{ \dot{E}_{co}(\tau) + \int_{\tau_1}^{\tau} f_n(\tau) e^{r(\tau-t)} d\tau \right\} d\tau + E_{co}(\tau_1) \quad (19)$$

$$\text{ただし } f_n(\tau) = e^{-\int_{\tau_1}^{\tau} A(\tau) d\tau} \left\{ f(\tau) + \int_{\tau_1}^{\tau} D(\tau) e^{\int_{\tau_1}^{\tau} A(\tau) d\tau} d\tau \right\}$$

$$f(\tau) = -\frac{\{r\dot{e}(\tau)E_c(\tau) - \dot{E}_c(\tau)E_c(\tau)\}pn(\tau)\{1 + (\frac{f_n}{f_{\infty}})^2\}\{A - S_n(\tau)\}}{\left[1 + pn(\tau)\{1 + (\frac{f_n}{f_{\infty}})^2\}\right]^3} - \frac{\{r\dot{e}(\tau)E_c(\tau) - \dot{E}_c(\tau)E_c(\tau)\}pn(\tau)\{f_n\}^2\{S_n(\tau) + rS_n'(\tau)\}}{\left[1 + pn(\tau)\{1 + (\frac{f_n}{f_{\infty}})^2\}\right]^2} - \frac{\{1 + pn(\tau)\frac{f_n}{f_{\infty}}\}^2\{S_n(\tau) + rS_n'(\tau)\}}{1 + pn(\tau)\{1 + (\frac{f_n}{f_{\infty}})^2\}}$$

$$D(\tau) = \frac{r\dot{e}(\tau)E_c(\tau) - \dot{E}_c(\tau)E_c(\tau)}{1 + pn(\tau)\{1 + (\frac{f_n}{f_{\infty}})^2\}} \cdot g(\tau)$$

$$g(\tau) = -pn(\tau)\left(\frac{f_n}{f_{\infty}}\right)^2 \{S_n(\tau) + rS_n'(\tau)\} - \frac{\{r[1 + pn(\tau)(\frac{f_n}{f_{\infty}})^2] + \frac{1}{f_{\infty}}\dot{E}_c(\tau)E_c(\tau)\}\{S_n(\tau) + rS_n'(\tau)\} + \{1 + pn(\tau)(\frac{f_n}{f_{\infty}})^2\}^2\{S_n(\tau) + rS_n'(\tau)\}}{r\dot{e}(\tau)E_c(\tau) - \dot{E}_c(\tau)E_c(\tau)} \\ + \frac{\{1 + pn(\tau)(\frac{f_n}{f_{\infty}})^2\}\{r\dot{e}(\tau)E_c(\tau) + r\dot{e}(\tau)E_c(\tau) + E_c(\tau)^2/E_c(\tau)^2\}}{\{r\dot{e}(\tau)E_c(\tau) - \dot{E}_c(\tau)E_c(\tau)\}^2} \cdot \{S_n(\tau) + rS_n'(\tau)\}$$

式(18)を与えられた境界条件の下で解けば、PC 鋼材の軸方向圧縮力に起因する PC 柱の任意点のたわみが時間 t ($\leq t_1$) の関数として与えられ、同様に式(19)は任意時刻における PC 柱の軸方向ひずみを与えるものである。さらに式(18)と式(19)および式(19)に代入して整理すれば、任意時刻におけるコンクリートの応力および PC 鋼材の引張力が次式で与えられる。

$$P(t) = P(\tau_1) + EsAs \left\{ \left\{ E_{co}(\tau_1) - f_0 \frac{\partial^2 w(\tau_1, x)}{\partial x^2} \int_{\tau_1}^{t-r(t-\tau_1)} e^{-r(t-\tau)} d\tau + \{h(\tau_1) - f_0 g(\tau_1, x)\} \int_{\tau_1}^{t-r(t-\tau_1)} e^{-r(t-\tau)} \int_{\tau_1}^{\tau} h(\tau) A(\tau) d\tau d\tau \right\} \right\} \quad (20)$$

$$\bar{C}_c(t) = -\frac{P(t)}{I_c} \left\{ h^2 + f_0 x \right\} \quad (21)$$

式(18), (19), (20)および式(21)はコンクリートのクリーフ、乾燥収縮、および弾性係数の時間的変化を考慮した厳密式である。これらは解析的に求められ、定積分が含まれるゆえ、実際演算に当たっては数值積分を行わねばならぬ。

6. 結語

本研究は PC 柱のクリーフ理論で通常無視されるコンクリートの弾性係数の時間的変化を厳密に考慮し、時間経過にともなう軸方向ひずみ、曲げ変形および応力の変化を算定する一般式を提示したものである。ほかにこれを誇張して式(21)の式(19)を式(15)に代入すれば、たゞ、すみやかに荷重載荷後の PC 柱クリーフ挙動を理論的に解析しうることとなる。

[参考文献]

- (1) N.Kh.Arutyunyan : Some Problems in the Theory of Creep in Concrete Structures. Pergamon Press. 1966